Titre: SDNL102 - Poutre soumise à un champ de vitesse de [...]

Date: 29/05/2013 Page: 1/6 Responsable : Jean-Luc FLÉJOU Clé: V5.02.102 Révision: 11078

SDNL102 - Poutre soumise à un champ de vitesse de vent

Résumé:

Ce test concerne la validation de l'application des chargements de vent sur les éléments linéiques. Le chargement est décrit par des champs de vitesses de vent. Ce problème permet de tester :

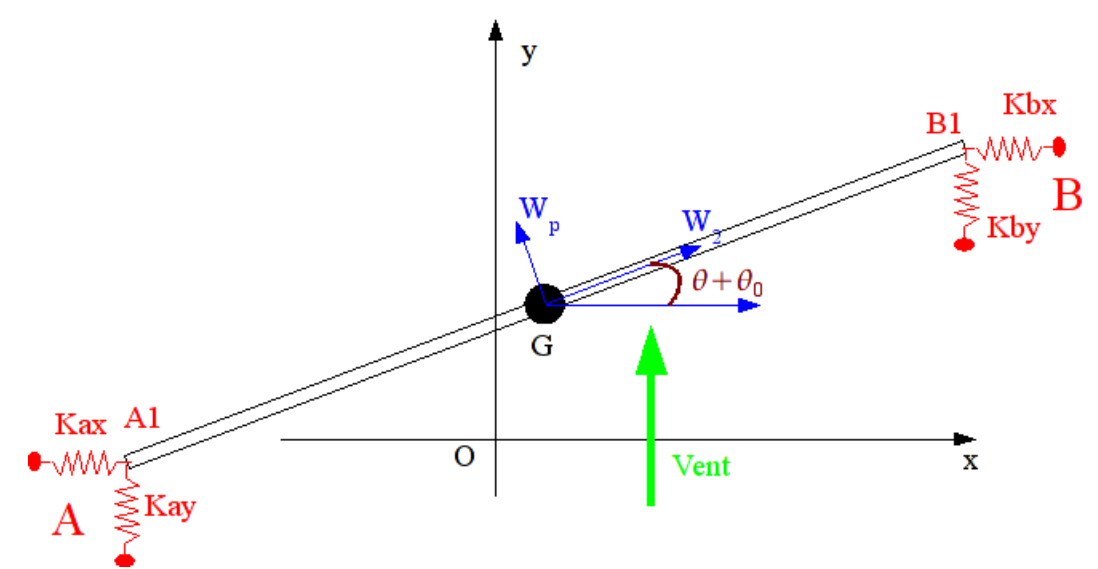
- les éléments finis linéiques [barres, câbles, poutres (sauf les poutres courbes)] avec des chargements suiveur de nature "vent",
- les chargements à l'aide des vitesses de vent :
 - lecture des données des champs de vent,
 - projection des champs de vent attachés au nuage de points sur le maillage déformé de la structure,
 - calcul de la vitesse relative,
- la prise en compte de la fonction donnant la force répartie en fonction de la vitesse relative de la structure,
- la réactualisation de la géométrie pour tenir compte des grands déplacements et des grandes rotations.

Titre: SDNL102 - Poutre soumise à un champ de vitesse de [...]

Date: 29/05/2013 Page: 2/6 Responsable : Jean-Luc FLÉJOU Clé: V5.02.102 Révision: 11078

Problème de référence

Géométrie



Longueur de la poutre : 1.5m

Raideurs des discrets : kax , kay , kbx , kby

1.2 Propriétés du matériau

Matériau pour l'élément linéique : E = 2.0E + 10 , $\rho = 1000.0$

Caractéristiques mécanique de la poutre : section = 'CERCLE', rayon = 0.1, ep = 0.1

La raideur des ressorts :

Kva Kxb Kyb Kxa 10 N/m20 N/m25 N/m22 N/m

1.3 Conditions aux limites et chargements

Aux points A et B: blocages des degrés de liberté: DX, DY, DZ

Aux points A1 et B1: blocages des degrés de liberté: DZ, DRX, DRY

Les ressorts sont modélisés par des discrets sans dimensions. Les nœuds A et A1, B et B1sont géométriquement confondus.

Les caractéristiques du champ de vitesse de vent, suivant l'axe y:

$$Vy=20.\sin(\omega.t)$$
, avec $\omega=2.\pi.f$ et $f=0.2Hz$

Conditions initiales 1.4

La poutre fait un angle de $30\,^\circ$ ($\theta_0 = 30\,^\circ$) par rapport à l'axe x .

Titre: SDNL102 - Poutre soumise à un champ de vitesse de [...]

Date: 29/05/2013 Page: 3/6 Responsable : Jean-Luc FLÉJOU Clé: V5.02.102 Révision: 11078

Solution de référence

2.1 **Equations d'équilibre**

L'étude est réalisée autour de la position initiale de la structure dans le plan xy. Les équations sont écrites au centre de gravité de la poutre.

Effort d'inertie :

$$M \cdot \gamma_g = \begin{pmatrix} Mx'' \\ My'' \\ \frac{M L^2}{12} \cdot \theta'' \end{pmatrix}$$

Effort au point A1

$$Fa = \begin{cases} -kxa \cdot \delta xa \\ -kya \cdot \delta ya \\ L \cdot (\delta ya \cdot kya \cdot \cos(\theta_0 + \theta) - \delta xa \cdot kxa \cdot \sin(\theta_0 + \theta))/2 \end{cases} \text{ avec les déplacements du point } A1 \\ \delta xa = L \cdot \cos(\theta_0)/2 - L \cdot \cos(\theta_0 + \theta)/2 + x \\ \delta ya = L \cdot \sin(\theta_0)/2 - L \cdot \sin(\theta_0 + \theta)/2 + y \end{cases}$$

Effort au point B1

$$Fb = \begin{cases} -kxb \cdot \delta xb \\ -kyb \cdot \delta yb \\ L \cdot (-\delta yb \cdot kyb \cdot \cos(\theta_0 + \theta) + \delta xb \cdot kxb \cdot \sin(\theta_0 + \theta))/2 \end{cases} \text{ avec les déplacements du point } B1 \\ \delta xb = -L \cdot \cos(\theta_0)/2 + L \cdot \cos(\theta_0 + \theta)/2 + xb \cdot kxb \cdot \sin(\theta_0 + \theta)/2 + xb \cdot kxb \cdot kxb \cdot \sin(\theta_0 + \theta)/2 + xb \cdot kxb \cdot kxb$$

Effort dû au vent

Vitesse relative d'un point M

$$V_r = \begin{cases} Vvx + s. \sin(\theta_0 + \theta).\theta' - x' \\ Vvy - s. \cos(\theta_0 + \theta).\theta' - y' \\ 0 \end{cases}$$

s: l'abscisse curviligne du point M sur la poutre $s \in [-L/2, L/2]$ Vvx, Vvy: vitesse du vent suivant l'axe x et l'axe y.

Vitesse relative perpendiculaire à la barre au point M :

$$V_{p} = \begin{cases} \sin(\theta_{0} + \theta) \cdot (-Vvy \cdot \cos(\theta_{0} + \theta) + Vvx \cdot \sin(\theta_{0} + \theta) + s \cdot \theta' - \sin(\theta_{0} + \theta) \cdot x' + \cos(\theta_{0} + \theta) \cdot y') \\ \cos(\theta_{0} + \theta) \cdot (Vvy \cdot \cos(\theta_{0} + \theta) - Vvx \cdot \sin(\theta_{0} + \theta) - s \cdot \theta' + \sin(\theta_{0} + \theta) \cdot x' - \cos(\theta_{0} + \theta) \cdot y') \\ 0 \end{cases}$$

Force due au vent en un point M

$$\begin{aligned} \textit{Fvent}_{(M)} = & \textit{Fcx}_{(M)} \cdot \frac{V_p}{\left\|V_p\right\|} \text{ dans notre cas on choisit } & \textit{Fcx}_{(M)} = & \left\|V_p\right\| \\ \text{on obtient donc } & \textit{Fvent}_{(M)} = & V_p \end{aligned}$$

Titre : SDNL102 - Poutre soumise à un champ de vitesse de [...]

Date: 29/05/2013 Page: 4/6 Responsable : Jean-Luc FLÉJOU Clé: V5.02.102 Révision: 11078

Résultante de la force due au vent sur la barre

$$Fvent = \begin{cases} L \cdot \sin(\theta_0 + \theta) \cdot ((-Vvy + y') \cdot \cos(\theta_0 + \theta) + (Vvx - x') \cdot \sin(\theta_0 + \theta)) \\ L \cdot \cos(\theta_0 + \theta) \cdot ((Vvy - y') \cdot \cos(\theta_0 + \theta) + (-Vvx + x') \cdot \sin(\theta_0 + \theta)) \\ -L^3 \cdot \theta'/12 \end{cases}$$

Équation finale de la dynamique

$$M \cdot \gamma_g = Fa + Fb + Fvent$$

Grandeurs et résultats de référence 2.2

Déplacements et rotation du point G aux instants : 2.0 sec, 3.0 sec, 4.0 sec, 5.0 sec et 6.0 sec.

2.3 Incertitudes sur la solution

Aucune. La résolution de l'équation d'équilibre se fait par une méthode d'intégration de Runge Kutta d'ordre 4.

Date: 29/05/2013 Page: 5/6

Titre : SDNL102 - Poutre soumise à un champ de vitesse de [...]

Responsable : Jean-Luc FLÉJOU Clé : V5.02.102 Révision : 11078

3 Modélisation A

3.1 Caractéristiques de la modélisation et du maillage

L'élément linéique : 'poutre' découpée en 12 mailles.

Les discrets : 'DIS T'

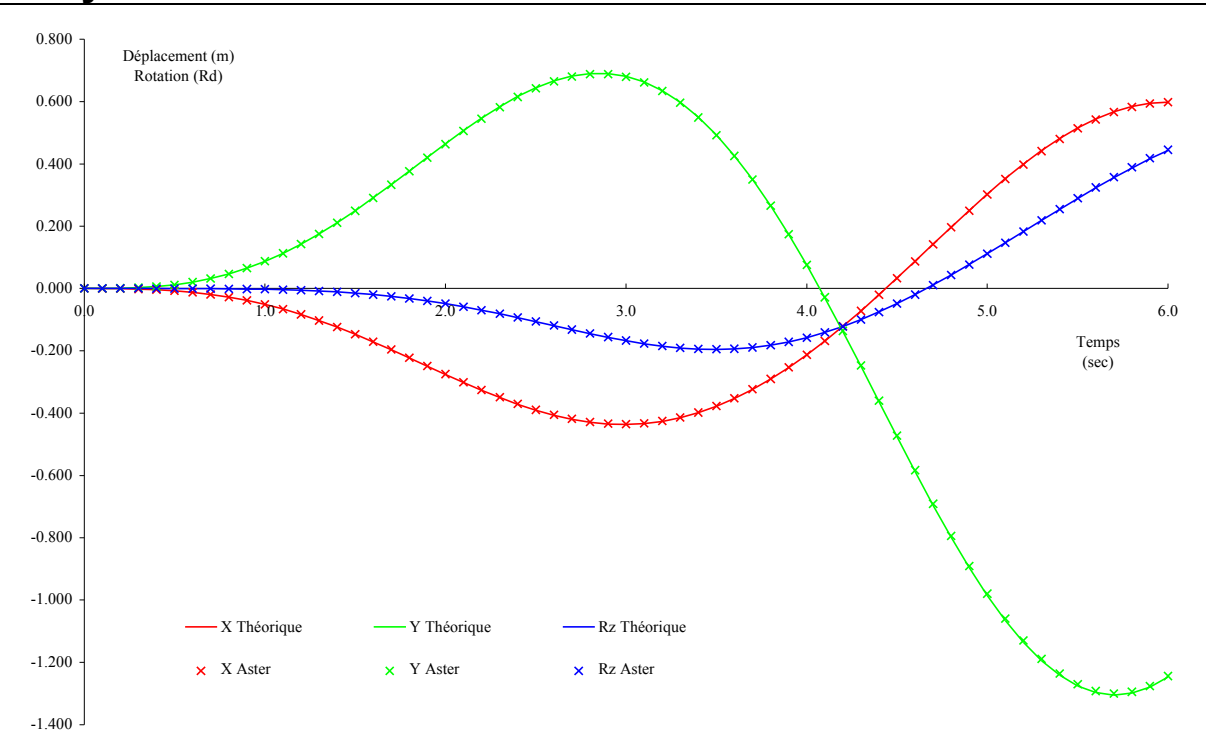
3.2 Grandeurs testées et résultats

Temps 2.0sec	Analytique	Erreur absolue	Erreur relative
x(m)	-0.27571	0.00070	0.00255
y(m)	0.46478	0.00120	0.00259
Rz(rd)	-0.04851	0.00001	0.00027
Temps 3.0sec	Analytique	Erreur absolue	Erreur relative
x(m)	-0.43640	0.00118	0.00271
y(m)	0.68149	0.00190	0.00279
Rz(rd)	-0.16767	0.00079	0.00472
Temps 4.0sec	Analytique	Erreur absolue	Erreur relative
x(m)	-0.21266	0.00043	0.00201
y(m)	0.07494	0.00111	0.01476
Rz(rd)	-0.15769	0.00026	0.00163
Temps 5.0sec	Analytique	Erreur absolue	Erreur relative
x(m)	0.30290	0.00108	0.00357
y(m)	-0.98487	0.00536	0.00544
Rz(rd)	0.11188	0.00027	0.00241
Temps6.0sec	Analytique	Erreur absolue	Erreur relative
x(m)	0.59847	0.00032	0.00054
y(m)	-1.24735	0.00322	0.00258
Rz(rd)	0.44284	0.00251	0.00566

Titre : SDNL102 - Poutre soumise à un champ de vitesse de [...]

Date: 29/05/2013 Page: 6/6 Responsable : Jean-Luc FLÉJOU Clé: V5.02.102 Révision: 11078

Synthèse des résultats 4



Comparaison entre les résultats théoriques et ceux de Code_Aster.